

Критический ток текстурированных гранулярных сверхпроводников в области сильных магнитных полей

© Л.В. Белевцов, А.А. Костиков*

Донецкий физико-технический институт им. А.А. Галкина Национальной академии наук Украины, 83114 Донецк, Украина

* Донбасская государственная машиностроительная академия, 84313 Краматорск, Донецкая обл., Украина

E-mail: apmath@dgma.donetsk.ua

(Поступила в Редакцию в окончательном виде 26 октября 2006 г.)

Теоретически исследована плотность критического тока J_c в кластерной модели гранулярной сверхпроводящей структуры, когда в гранулах присутствуют вихри Абрикосова. Установлено, что J_c имеет гауссово-подобную зависимость от эффективного параметра отношения размера зерен, образующих межгранулярный джозефсоновский переход. Зависимость J_c от анизотропии проникновения магнитного поля в гранулы сводится к зависимости от интенсивности связи между кристаллитами.

PACS: 74.25.Op, 74.25.Sv

1. Введение

Плотность критического тока J_c высокотемпературных сверхпроводников (ВТСП) является основным параметром, определяющим область применения этих материалов. Наличие гранулярной макроструктуры является причиной существенного подавления J_c , что противоположно ситуации для классических сверхпроводников, в которых такие границы увеличивали критический ток вследствие усиления пиннинга вихрей. Поэтому путь к повышению токонесущей способности гранулярных ВТСП проходит через понимание особенностей влияния межгранулярных границ на этот процесс [1,2].

Максимальная плотность критического тока через гранулярную границу j_{c0} является функцией угла разориентации ϕ и зависит от технологии приготовления образца [3,4]. Плотность тока через образец J_c зависит от критического тока i_c между отдельными гранулами. В масштабе всего образца ток i_c представляет собой случайную величину, отличающуюся для разных пар гранул. Вид и параметры распределения этой случайной величины также зависят от ряда технологических факторов. В области сильных магнитных полей $H \geq H_{c1}$ в гранулы проникают вихри Абрикосова, токи которых вносят поправку в фазу Θ параметра порядка Δ в берегах межгранулярных переходов [5–9]. Возникает вопрос: каким образом границы гранул будут влиять на критический ток?

Взаимное влияние границ гранул на структуру абрикосовских вихрей и вихревых нитей на фазу параметра порядка в берегах межгранулярного перехода было описано ранее для одиночного межгранулярного контакта [7–9]. Критический ток через переход i_c описывается модернизированным уравнением Феррела–Прейнджа. Величина i_c имеет зависимость как от внешнего магнитного поля H , так и от интенсивности связи между зернами σ , отношения размеров зерен, образующих контакт, Γ и анизотропии ν , характеризующей проникновение

магнитного поля в гранулу вдоль кристаллографической оси c и в ab -плоскости.

В настоящей работе исследуется модель гранулированного сверхпроводника, в котором основной вклад в J_c вносят кластеры с примерно одинаковой ориентацией гранул по отношению к внешнему магнитному полю H . Анализируется зависимость критического тока от параметра анизотропии проникновения магнитного поля в гранулы и отношения размера гранул, образующих межгранулярный переход в области магнитных полей $H_{c1} \leq H \leq H_x$, где H_x — поле, при котором абрикосовские вихри срываются с центров пиннинга. При этом предполагается, что размеры зерен и интенсивность связи между ними статистически распределены по кластеру по нормальному закону.

2. Теория

При расчете J_c плотности критического тока ВТСП как совокупности сверхпроводящих зерен, соединенных слабыми (джозефсоновскими) связями, в общем случае надо учитывать не только разброс энергий связи ϵ_J межгранулярных джозефсоновских контактов, но и корреляцию фаз параметра порядка в различных зернах. Задача существенно упрощается, если последним фактором можно пренебречь: в этом случае токи в соседних контактах можно считать независимыми друг от друга. Такая ситуация возможна либо при достаточно высоких температурах ($T \geq \epsilon_J$), когда велики температурные флуктуации параметра порядка, либо в достаточно сильном магнитном поле ($H \geq \Phi_0/d^2$, где Φ_0 — квант магнитного потока, a — расстояние между контактами), которое приводит к сильным „магнитополевым“ флуктуациям параметра порядка. В этом случае расчет критического тока предполагает наличие информации о функции распределения межгранулярных контактов по критическим токам $f(i_c)$, вид которых можно определить на основе модельных представлений о свойствах

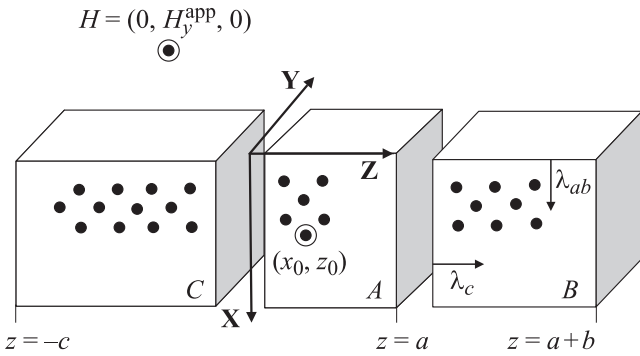


Рис. 1. Схематическое изображение элемента рассматриваемой статистической модели. Предполагается, что каждая гранула содержит вихри Абрикосова, а энергия нитей определяется их взаимодействием с вихрями-изображениями.

межгранулярных контактов гранулированных ВТСП или экспериментальным путем. На рис. 1 схематически показан элемент статистической модели. Полагается, что характерный размер гранулы $\tau = a/2\lambda_c \gg 1$. Магнитное поле приложено параллельно поверхности вдоль оси Y . Поле проникает в гранулу на глубину λ_{ab} со стороны поверхности и на глубину λ_c со стороны межгранулярных джозефсоновских контактов. Транспортный ток протекает вдоль оси Z .

Каждая пара гранул $A_i B_i$ характеризуется параметром $\Gamma = a/b$ (a и b — размеры гранул A и B соответственно), интенсивностью связи между гранулами $\sigma = \lambda_{ab}/\lambda_J$ (λ_J — джозефсоновская глубина проникновения) и анизотропией $\nu = \lambda_c/\lambda_{ab}$, которые являются изменяющимися по величине в пределах рассматриваемого сверхпроводящего кластера. Будем также полагать, что каждая гранула является элементом ламинарной модели в области магнитных полей $H \geq H_{c1}$ [10–12]. Такой подход оправдан тем, что, как показано в работе [11], энергия абрикосовского вихря фактически зависит только от влияния ближайших границ кристаллита.

Рассмотрим отдельную вихревую нить, токи которой достигают поверхности и берегов контакта. Положению вихря отвечают координатные точки (x_0, z_0) . Будем считать, что параметр Гинзбурга–Ландау $\kappa \gg 1$, а ось вихря совпадает с осью Y и параллельна поверхности образца и внутренним границам гранул $H = (0, H_y^{app}, 0)$. Вихрь добавляет свое магнитное поле, которое искажается поверхностями так, чтобы, во-первых, не создавалось добавочное поле ни на поверхности, ни в джозефсоновских контактах (поскольку поле на поверхности задано и равно H_y^{app} , а поле в контактах можно представить в следующем виде: $H_y^{app} \exp(x/\lambda_J)$), а во-вторых, ток, нормальный к поверхностям, обращался в нуль. Это можно осуществить, если добавить к вихрю его зеркальные изображения относительно поверхностей с противоположным направлением поля и тока [10,11]. Основная энергия вихря сосредоточена в области $\xi_{ab} \ll x \ll \lambda_{ab}$ и $\xi_c \ll z \ll \lambda_c$ (где ξ_{ab} и ξ_c — длины сверхпроводящей когерентности в кристаллографической плоскости $\{ab\}$

и вдоль оси $\{c\}$ соответственно). Поле вихря будет удовлетворять анизотропному лондоновскому уравнению с $2(2L + 1)$ источниками ($L \geq 1$ — число рассматриваемых вихрей-изображений вдоль одного из направлений $\pm OZ$)

$$\nabla \times [\lambda^2]j + H = \Phi_0 \mathbf{e}_y \left[\sum_{n=-L}^L \{(-1)^n \delta(\rho - \rho_n^{(+)}) + (-1)^{n+1} \delta(\rho - \rho_n^{(-)})\} \right], \quad (1)$$

где \mathbf{e}_y — орт вдоль оси OY ; $\Phi_0 = h/2e$ — квант магнитного потока; $\delta(\rho - \rho_n)$ — двумерная дельта-функция Дирака в $X-Z$ -плоскости; $\rho_{\pm n}^{(+)}$ и $\rho_{\pm n}^{(-)}$ — положение вихря ($n = 0$) и изображений ($n \neq 0$) в ламинарной модели [11]; $[\lambda^2]$ — тензор, описывающий анизотропию материала, который будем полагать диагональным. Также положим $a \gg \xi_{ab}, \xi_c$; таким образом, можно пренебречь влиянием границ зерен на параметр порядка в них. Используя уравнение Максвелла $\nabla \times \mathbf{H} = \mathbf{j}$, получим следующее уравнение для распределения поля в грануле [11]:

$$\lambda_c^2 \frac{\partial^2 H_y}{\partial z^2} + \lambda_{ab}^2 \frac{\partial^2 H_y}{\partial x^2} - H_y = -\Phi_0 \sum_{n=-L}^L (-1)^n \delta[x - x_0] \times \delta \left[z - \frac{a}{2} - (-1)^n \left(z_0 - \frac{a}{2} \right) - na \right] + (-1)^{n+1} \delta[x + x_0] \delta \left[z - \frac{a}{2} - (-1)^n \left(z_0 - \frac{a}{2} \right) - na \right]. \quad (2)$$

Существенным отличием данного уравнения от анизотропного уравнения Лондонов является наличие источников для вихря, несущего один квант магнитного потока Φ_0 и его зеркальных изображений.

Уравнение (2) позволяет найти энергию вихря Абрикосова в анизотропной грануле [11]

$$U(H, x_0, z_0) = \frac{\Phi_0}{4\pi} \left\{ H \exp[-x_0/\lambda_{ab}] + H_{c1}(\infty) - H + H_y^J(x_0, z_0) + \frac{\Phi_0}{4\pi\lambda_{ab}\lambda_c} \left[\sum_{n=-L}^L P_n^S(x_0, x_0, z_0, z_0) + \sum_{n=-L}^L P_n^N(x_0, x_0, z_0, z_0) \right] \right\}. \quad (3)$$

Здесь $H_{c1}(\infty)$ — первое критическое поле в глубине образца,

$$H_y^J(x_0, z_0) = H \times \int_0^\infty \frac{dk}{2\pi} \frac{4k\lambda_J^2}{1 + \lambda_{ab}^2 k^2} \frac{\sin(kx_0) \cosh[(1 + \lambda_{ab}^2 k^2)^{\frac{1}{2}}(z_0/\lambda_c)]}{\lambda_J^2 k^2 \cosh(\gamma) + (1 + \lambda_{ab}^2 k^2)^{\frac{1}{2}} \sinh(\gamma)} \quad (4)$$

составляющая магнитного поля в межгранульном контакте от поля вихревой нити;

$$P_n^S(x, x_0, z, z_0) = (-1)^n K_0 [D_n(z, z_0, x - x_0)],$$

$$P_n^N(x, x_0, z, z_0) = (-1)^n K_0 [D_n(z, z_0, x + x_0)],$$

$$D_n(z, z_0, x \pm x_0) = \sqrt{A^2(x \pm x_0) + B_n^2(z, z_0)},$$

$$A(x \pm x_0) = \frac{x \pm x_0}{\lambda_{ab}},$$

$$B_n(z, z_0) = \frac{z - a/2 - (-1)^n (z_0 - a/2) - na}{\lambda_c}.$$

Здесь $\gamma = (1 + \lambda_{ab}^2 k^2)^{1/2} (\frac{a}{2\lambda_c})$, K_0 — функция Макдональда. Представленная соотношением (3) зависимость энергии вихревой нити от точки ее локализации в области гранулы $U(H, x_0, z_0)$ содержит в „зародыше“ все основные особенности магнитного и транспортного отклика гранулированного сверхпроводника на изменение параметров структурно-неоднородной джозефсоновской системы и приложенного поля.

Следует заметить, что оксидным сверхпроводникам свойственны зернистая и супермелкозернистая структура и относительно малый перенос электронов на границах гранул. Будем полагать, что размер гранул и сила связи между зернами распределены по нормальному закону. Рассматриваемая модель представляется весьма подходящей для описания пленок, ориентированных вдоль кристаллографической c -оси, а также монокристаллических образцов, содержащих плоскости двойникования. Конечно, эта модель менее подходит в случае разориентированных поликристаллических пленок или для описания керамики, в которой соседние гранулы могут ориентироваться различным образом.

3. Сверхпроводник с ориентированными гранулами

Рассмотрим поведение критического тока в ориентированном сверхпроводящем образце. Будем считать, что внешнее магнитное поле направлено вдоль межгранульных джозефсоновских переходов, перпендикулярно направлению протекания транспортного тока. В таком представлении элементарный потенциал пиннинга на единицу длины кора вихря имеет вид [12]

$$U_p(H, x_0, L) = \lim_{z_0 \rightarrow a} U(H, x_0, z_0, L). \quad (5)$$

Потенциал пиннинга U_p представляет собой суммарную энергию центров пиннинга $U_p = \sum_k U_p^i$, что отвечает плотности вихрей Абрикосова на границах зерен n_p . При этом вихри в грануле образуют вихревую решетку с параметром решетки d , зависящем от внешнего магнитного поля. Таким образом, при увеличении поля возрастают количество вихревых нитей и, следовательно, плотность центров пиннинга [13] (поскольку $d \sim n_L^{-1/2}$).

Тогда внутригранульная плотность критического тока при $L = 1$ имеет вид [12]

$$j_c^G(H) = \frac{c}{\lambda_{ab} \xi_c \Phi_0} \sum_{k=0}^{[\lambda_{ab}/d]} U_p(H, x_0^k)_{x_0^k = \frac{a}{2} + kd}. \quad (6)$$

Принимая во внимание, что гранульные границы в сверхпроводящем MgB_2 относительно прозрачны для тока [14,15], описание критического тока образца в такой системе возможно на основе пиннингового механизма транспортного тока. Однако в гранулированных ВТСП на межгранульный критический ток i_c будет оказывать существенное влияние угол разориентации соседних зерен ϕ [3]. Как известно, точка разориентации в $4-5^\circ$ является переходной от сильной к слабой джозефсоновской связи. С другой стороны, как показано в работе [7], j_{c0} существенно зависит от отношения Γ размеров зерен, образующих SIS-переход и параметра анизотропии ν . Критический ток SIS-перехода i_c при этом задается формулой [5,16]

$$i_c^2(H) = j_{c0}^2 \left| \int_0^W \exp[i\Theta(H, x)] dx \right|^2, \quad (7)$$

где j_{c0} — плотность критического тока перехода при $H = 0$ (в дальнейшем для оценки будем полагать $j_{c0} = 10^5$ A/cm²); W — ширина джозефсоновского перехода вдоль оси Y ; разность фаз Θ зависит от внешнего поля H и координат (x_i, z_i) вихревых нитей в грануле, а также [7–9] от параметров Γ , σ и ν :

$$\Theta(H, x) = \sum_{i=1}^N -\frac{2}{(\lambda_{ab} \lambda_c)^{1/2}} \int_0^x \varphi(H, x \pm x_i) dx + \frac{2\pi\Phi x}{\Phi_0 W}. \quad (8)$$

Здесь N — количество вихревых нитей в грануле. Решение для фазы $\varphi(x)$, наводимой в переходе каждой вихревой нитью, дается модернизированным уравнением Феррела–Прейнджа [8].

Задача вычисления плотности критического тока в гранулированной системе сводится к вычислению сверхпроводящего тока, протекающего по рассматриваемому кластеру с распределением контактов по току i_c . Это распределение дается уравнением (7). При этом величина интенсивности связи между зернами σ лежит в интервале от σ_1 до σ_2 , а параметр отношения размеров зерен, образующих межгранульный переход Γ может принимать значения от Γ_1 до Γ_2 . Тогда доля $P(J)$ контактов с плотностью тока, большей чем J , будет задаваться функцией распределения $P(J)$ согласно подходу, развитому в [17,18], и особенностями [11] рассматриваемой модели:

$$P(J) = \frac{1}{(\sigma_2 - \sigma_1)(\Gamma_2 - \Gamma_1)} \int_{\sigma_1}^{\sigma_2} d\sigma \int_{\Gamma_1}^{\Gamma_2} d\Gamma, \quad (9)$$

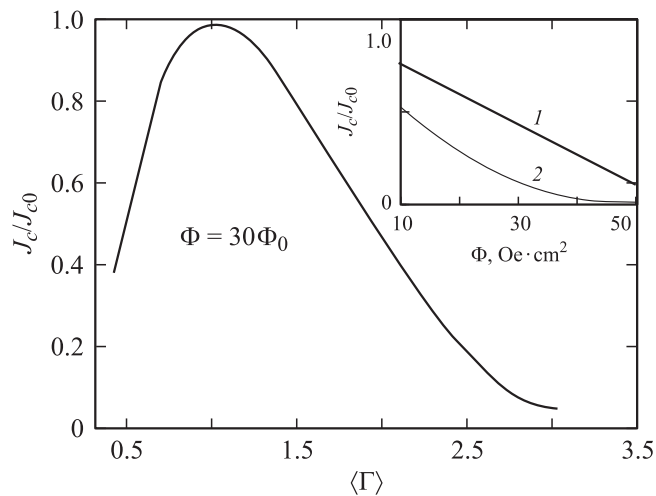


Рис. 2. Зависимость плотности критического тока от эффективного отношения размера гранул $\langle \Gamma \rangle$, образующих межгранулярный переход при фиксированном магнитном потоке $\Phi = 30\Phi_0$. На вставке показана полевая зависимость J_c/J_{c0} для $\langle \Gamma \rangle = 1$ (1) и 0.35 (2).

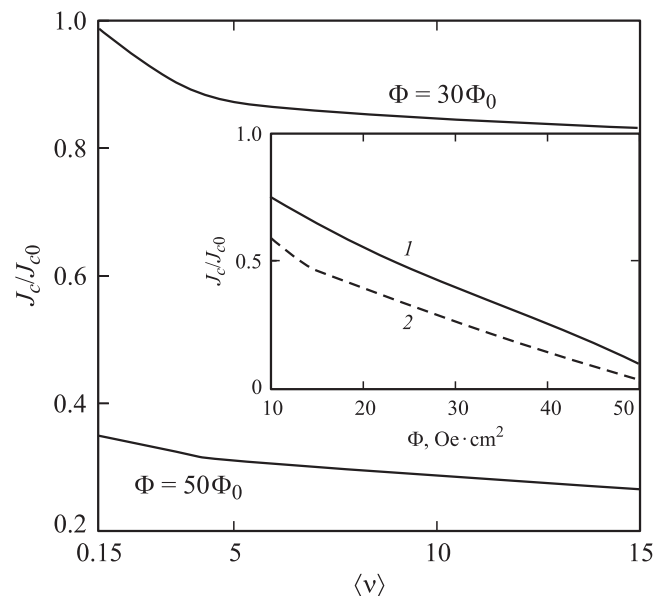


Рис. 3. Зависимость плотности критического тока от эффективной анизотропии $\langle \nu \rangle$ при $\Phi = 30\Phi_0$ и $\Phi = 50\Phi_0$. На вставке приведена полевая зависимость J_c/J_{c0} для $\langle \nu \rangle = 0.15$ (1) и 1.5 (2).

где σ_J и Γ_J отвечает току со значением J . Тогда выражение для плотности критического тока имеет вид [18]

$$J_c = \frac{1}{1 - P_c} \int_{P_c}^{P_m} \frac{dP}{P} \int_0^P J(P') dP', \quad (10)$$

где $P_c = 2/Z$ — эффективный перколяционный порог с числом связей Z для одной гранулы. Для кубических гранул $Z = 6$ и $P_c = 1/3$. Как только $P_c > 1$, вероятность

нахождения путей для тока в перколяционной системе равняется нулю. В уравнении (10) функция $J(P')$ есть обратная функция к $P'(J)$.

3.1. Влияние отношения размеров гранул на $J_c(H)$. К настоящему времени достаточно подробно изучено влияние размеров гранул керамики [19–21], плотности их упаковки [22] и внешнего давления P [23] на внутригранулярный и межгранулярный критические токи. В нашей работе [7] показано, что при фиксированном магнитном потоке Φ наблюдается фраунгоферово-подобная зависимость межгранулярного критического тока i_c от отношения размеров гранул Γ , образующих переход.

На рис. 2 показана зависимость плотности критического тока J_c от эффективного параметра $\langle \Gamma \rangle$ при фиксированной величине магнитного потока $\Phi = 30\Phi_0$. Максимальная величина тока соответствует ситуации с $\langle \Gamma \rangle = 1$, практически это отвечает джозефсоновской среде, состоящей из примерно одинаковых (с точностью 5–10%) гранул, размер которых $a > 2\lambda_c$. Приготовление таких образцов с $a > 0.2 \mu\text{m}$ — технологически вполне достижимая задача. На вставке показана магнитополевая зависимость J_c при $\langle \Gamma \rangle = 1$ (кривая 1) и $\langle \Gamma \rangle = 0.35$ (кривая 2).

3.2. Влияние анизотропии гранул на $J_c(H)$. В высокотемпературных материалах роль анизотропии гранул обусловлена сильным отличием значений лондоновской глубины проникновения λ_L , отвечающей, магнитному полю, направленному вдоль разных осей кристалла. Для $\text{YBa}_2\text{Cu}_3\text{O}_x$ отношение $\nu = \lambda_c/\lambda_{ab} \approx 3.3$ [24], а для MgB_2 $\nu \approx 2.04$ [25]. Такая анизотропия приводит к качественно иной (по сравнению с изотропным случаем) зависимости $i_c(H)$ для отдельного контакта [7–9]. Возникает вопрос: каким образом влияет анизотропия материала на поведение $J_c(H)$ для набора ориентированных джозефсоновских контактов в перколяционной системе?

На рис. 3 показана зависимость J_c плотности критического тока от эффективного параметра анизотропии $\langle \nu \rangle$ при $\Phi = 30\Phi_0$ и $50\Phi_0$. Видно, что с увеличением $\langle \nu \rangle$ плотность тока убывает, а максимум J_c соответствует изотропному случаю $\langle \nu \rangle = 1$. На вставке показана магнитополевая зависимость $J_c(\Phi)$ при $\langle \nu \rangle = 0.15$ (кривая 1) и $\langle \nu \rangle = 1.5$ (кривая 2).

Заметим, что рассмотрение влияния величины разброса δ (от $\langle \Gamma \rangle$ и $\langle \nu \rangle$) на J_c показало, что этот параметр фактически не влияет на величину транспортного тока.

4. Обсуждение результатов

В настоящей работе теоретически исследовано влияние эффективных параметров джозефсоновской среды на магнитополевую зависимость $J_c(H)$ плотности транспортного критического тока в гранулярных сверхпроводниках второго рода. Вычисления проводились на основе ламинарной и трехмерной кластерной моделей.

Вихри Абрикосова при вхождении в гранулы изменяют фазу параметра порядка Θ в берегах джозефсоновских переходов [7–9]. Это ведет к джозефсоновским осцилляциям в области сильных магнитных полей. Межгранулярная плотность тока j_c является функцией внутри- и межгранулярных характеристик $j_c = j_c(\tau, \sigma, \nu)$, а плотность перколяционного тока — функция эффективных параметров $\langle \Gamma \rangle$, $\langle \sigma \rangle$ и $\langle \nu \rangle$: $J_c = J_c(\langle \Gamma \rangle, \langle \sigma \rangle, \langle \nu \rangle)$. Рассмотрим, каким образом вариация эффективных параметров джозефсоновской среды влияет на J_c .

а) Отношение размеров гранул, образующих межгранулярный контакт. При наличии внешнего магнитного поля $H > H_{c1}$ количество абрикосовских вихрей в зерне $n_L \propto a^2$. Очевидно, что если размер зерен (в нашей геометрии область гранулы вдоль оси OZ) $\{a\}$ и $\{b\}$ одинаковы, то количество вихревых нитей в них одинаково. И следовательно, их влияние на фазу $\Theta(x)$ параметра порядка $\Delta(\mathbf{r})$ межгранулярного перехода практически отсутствует. Если отношение $\Gamma = a/b \neq 1$, то влияние магнитного поля вихревых нитей на переход становится интенсивней, когда величина Γ более отдалена от единицы.

Обычно ВТСП-пленки ориентированы вдоль кристаллографической c -оси перпендикулярно плоскости подложки. Поэтому результаты данной работы можно использовать для анализа поведения критического тока ВТСП-пленок в параллельном магнитном поле. Например, пленки YBCO состоят из набора кристаллитов величиной $\sim 20\text{--}200\text{ nm}$, разделенных между собой малолугловыми границами с углами разориентации порядка $1\text{--}3^\circ$, что соответствует сильной связи между гранулами. Плотность критического тока J_c , наблюдаемая в таких образцах, $\sim 2\text{--}10^7\text{ A/cm}^2$ при 77 К [26,27].

Результаты исследования распределения размеров гранул в керамическом $\text{YBa}_2\text{CuO}_{7-x}$ [28] указывают на гауссово распределение. Поведение критического тока является отображением гранулярных размеров и их распределения по образцу. Поэтому уместно сделать заключение о наличии гауссово-подобной зависимости плотности критического тока J_c от параметра $\langle \Gamma \rangle$, что соответствует полученной в настоящей работе параболической кривой.

б) Анизотропия. При увеличении анизотропии $\langle \nu \rangle = \langle \lambda_c / \lambda_{ab} \rangle$ проникновения магнитного потока в гранулы возможны две ситуации.

1) Увеличение параметра λ_c , когда $\lambda_{ab} = \text{const}$; при этом происходит рост эффективной толщины межгранулярного джозефсоновского контакта $\sim 2\lambda_c$, что ведет к уменьшению J_c .

2) Уменьшение глубины проникновения поля в ab -плоскости гранулы при $\lambda_c = \text{const}$. Поскольку при этом полагается, что $\lambda_J = \text{const}$, уменьшается интенсивность связи между зернами $\sigma = \lambda_{ab} / \lambda_J$, что ведет к падению J_c .

Таким образом, изменение анизотропии лондоновской глубины проникновения ν ведет к изменению силы связи

между зернами. Именно по этому параметру возможно сравнить теоретические результаты с экспериментом. Из полученных результатов следует, что с уменьшением ν расчет σ , т.е. происходит рост константы связи и увеличивается значение плотности критического тока. Последнее утверждение согласуется с экспериментами [29], из которых следует, что межгранулярная сила связи образцов с высокой критической плотностью тока J_c много больше, чем в обычных ВТСП. В работе [30] показано, что, изменяя силу связи на границах гранул, можно существенно увеличить J_c . Кроме того, эти результаты согласуются со статистическим численным моделированием сильно связанных сверхпроводников типа MgB_2 методом Монте-Карло [31]. Таким образом, в полях $H \geq H_{c1}$ роль влияния анизотропии проникновения внешнего магнитного поля в гранулы сводится к изменению параметра интенсивности связи между зернами σ .

Следует заметить, что практически добиться примерно одинаковых джозефсоновских связей (с одинаковыми эффективными толщинами перехода) между подобными гранулами весьма сложно, так как для этого необходимо согласовать размеры слабых связей с $a \sim 1\text{ }\mu\text{m}$. Например, толщина оксидных туннельных барьеров между гранулами составляет всего $d \sim 2\text{ nm} \ll a$ [16].

Для более реалистичного описания необходимо принимать во внимание пиннинг на пространственных неоднородностях (включениях, дислокациях). Характерным примером могут служить пленки, где пиннинг абрикосовских вихрей в значительной мере обусловлен пиннингом вихревых нитей в маленьких гранулах. Как показано в работе [32], поведение вихревого ансамбля в пленках YBCO определяется взаимодействием вихрей с линейными дефектами — краевыми дислокациями, которые формируются в процессе эпитаксиального роста кристаллов и являются основным типом дефектов кристаллической решетки с плотностью, достигающей 10^{15} lines/m^2 . Эффективный пиннинг вихрей и высокая плотность критического тока ($J_c \geq 3 \cdot 10^{10}\text{ A/m}^2$ при $T = 77\text{ K}$) в пленках YBCO обусловлены именно высокой плотностью таких линейных дефектов. Если же линейными дефектами в той или иной степени пренебречь, то описание $J_c(H)$ на основе рассмотренной модели более адекватно демонстрирует транспортные значения J_c для „чистых“ гранулированных ВТСП-материалов.

Следует заметить, что для ВТСП характерна анизотропная симметрия спаривания куперовских пар с d -волновым типом. Поэтому в более реальных случаях при рассмотрении транспортных свойств ВТСП необходимо учитывать наряду с неупорядоченной структурой и симметрию параметра порядка [33,34].

Заметим также, что особенности гранулированных структур таковы, что проникновение в них абрикосовских вихрей ведет к деформации размеров образца [35] — пиннинг-индуцированной магнитострикции. При изменении размеров гранул изменяется толщина джозефсоновского перехода d_N . Причина такого поведения в том, что гранулы являются элементами жесткого

массива. Это делает невозможным смещение их центров масс относительно друг друга. Поэтому увеличение (уменьшение) размера зерен ведет к уменьшению (увеличению) толщины изолирующей межгранульной прослойки δd_N . Поскольку $i_c \propto \exp[-2d_N\sqrt{H}]$, будет изменяться плотность тока J_c всего образца. Таким образом, эффект джозефсоновских осцилляций, вызванный проникновением абрикосовских вихрей в гранулы [7], может проявляться в ВТСП. При фиксированной величине магнитного потока Φ зависимость транспортного тока J_c от эффективного параметра отношения размера зерен, образующих межгранульный переход $\langle \Gamma \rangle$, имеет форму гауссовой кривой с максимумом в точке $\langle \Gamma \rangle = 1$. Другое важное проявление эффекта состоит в зависимости J_c от эффективного параметра анизотропии $\langle \nu \rangle$, характеризующего отношение глубин проникновения магнитного поля вдоль разных кристаллографических осей. Показано, что анизотропная зависимость J_c сводится к зависимости от интенсивности связи между гранулами $\langle \sigma \rangle$ и эффективной толщины межгранульного джозефсоновского перехода. При этом максимальная величина тока отвечает изотропному случаю $\langle \nu \rangle = 1$.

Авторы выражают признательность А.И. Дьяченко за обсуждение полученных результатов.

Список литературы

- [1] Ю.И. Кузьмин. ФТТ **43**, 1157 (2001).
- [2] А.А. Козловский, В.Ф. Хирный. ФТТ **42**, 1780 (2000).
- [3] D. Dimos, P. Chaudhari, J. Mannhart, F.K. LeGoues. Phys. Rev. Lett. **61**, 219 (1988).
- [4] D. Dimos, P. Chaudhari, J. Mannhart. Phys. Rev. B **41**, 4038 (1990).
- [5] Ю.П. Денисов. ФТТ **18**, 119 (1976).
- [6] М.В. Фистуль. Письма в ЖЭТФ **42**, 95 (1989).
- [7] L.V. Belevtsov, A.A. Kostikov. Phys. Lett. A **343**, 454 (2005).
- [8] Л.В. Белевцов, А.А. Костиков. ЖЭТФ **128**, 586 (2005).
- [9] L.V. Belevtsov, A.A. Kostikov. J. Low Temp. Phys. **139**, 11 (2005).
- [10] L.V. Belevtsov. Europhys. Lett. **59**, 768 (2002).
- [11] Л.В. Белевцов. ФНТ **31**, 155 (2005).
- [12] Л.В. Белевцов. ФНТ **31**, 490 (2005).
- [13] N.-C. Yeh. Phys. Rev. B **40**, 4566 (1989).
- [14] M. Kambara, N. Hari Babu, E.S. Sadki, J.R. Cooper, H. Minami, D.A. Gardwell, A.M. Campbell, I.H. Inoue. Supercond. Sci. Technol. **14**, L 5 (2001).
- [15] O.F. de Lima, R.A. Ribeiro, M.A. Avila, C.A. Cardoso, A.A. Coelho. Phys. Rev. Lett. **86**, 5974 (2001).
- [16] А. Бароне, Дж. Пятэрно. Эффект Джозефсона: физика и применения. Мир, М. (1984). 639 с.
- [17] T. Matsushita, B. Ni, Y. Sudo, M. Iwakuma, K. Funaki, M. Takeo, K. Yamafuji. Jap. J. Appl. Phys. **27**, 929 (1988).
- [18] T. Matsushita, B. Ni, K. Yamafuji. Cryogenics **29**, 384 (1989).
- [19] R.L. Peterson, J.W. Ekin. Physica C **157**, 325 (1989).
- [20] E. Shimizu, D. Ito. Phys. Rev. B **39**, 2921 (1989).
- [21] M. Kuwabara, H. Shimooka. Appl. Phys. Lett. **55**, 2781 (1989).
- [22] G. Paterno, C. Alvani, S. Casadio, U. Gambardella, L. Maritato. IEEE Trans. Magn. **25**, 2276 (1989).
- [23] A.I. D'yachenko, V.Yu. Tarenkov, A.V. Abalioshev, R.V. Lutciv, Yu.N. Myasoedov, Ya.V. Boiko. Physica C **251**, 207 (1995).
- [24] T.G. Hylton, M.R. Beasley. Phys. Rev. B **39**, 9042 (1989).
- [25] F. Monzano, A. Carrington. E-print archives. Cond-mat/0106166.
- [26] Ch. Gerber, D. Anselmetti, J.G. Bernorz, J. Mannhart, D.J. Schlom. Nature **350**, 279 (1991).
- [27] J.M. Huijbregtse, B. Dam, R.C.F. van der Geest, F.C. Klaassen, R. Elberse, J.H. Rector, R. Griessen. Phys. Rev. B **62**, 1338 (2000).
- [28] D. Kunstelj. Fizika A **3**, 35 (1994).
- [29] G. Lu, K.X. Chen, L.X. Xue, C.D. Wei, Q.R. Feng, H.T. Ren, Q. He, L. Xiao, R.K. Wang, D.A. Yu. Mod. Phys. Lett. B **4**, 1361 (1990).
- [30] X.Y. Cai, A. Gurevich, I.-Fei Tsu, D.L. Kaiser, S.E. Babcock, D.C. Larbalestier. Phys. Rev. B **57**, 10 951 (1998).
- [31] L.V. Belevtsov, V.N. Pervukin. Europhys. Lett. **67**, 648 (2004).
- [32] В.М. Пан, А.В. Пан. ФНТ **27**, 991 (2001).
- [33] C. De Leo, G. Rotoli. Supercond. Sci. Technol. **15**, 1711 (2002).
- [34] A. Majhofer, T. Wolf, W. Dieterich. Phys. Rev. B **44**, 9634 (1991).
- [35] В.В. Еременко, В.А. Сиренко, Г. Шимчак, А. Набялек. ФНТ **25**, 311 (1999).